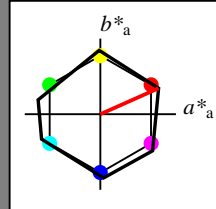


Eingabe: Farbmetrisches Reflexions-System NRS11

für Buntton $h^* = lab^*h = 24/360 = 0.067$

LAB*LCH, LAB*NCH

D65: Buntton R
 LCH*Ma: 53 84 24
 olv*Ma: 1.0 0.0 0.0



NRS11; adaptierte CIELAB-Daten

	$L^*=L^*_a$	a^*_a	b^*_a	$C^*_{ab,a}$	$h^*_{ab,a}$
R _{Ma}	53.2	77.06	34.32	84.36	24
J _{Ma}	53.2	-1.51	84.38	84.39	91
G _{Ma}	53.2	-82.27	18.98	84.44	167
G50B _{Ma}	53.2	-77.72	-32.98	84.44	203
B _{Ma}	53.2	4.37	-84.28	84.41	273
B50R _{Ma}	53.2	69.09	-48.41	84.37	325
N _{Ma}	10.99	0.0	0.0	0.0	0
W _{Ma}	95.41	0.0	0.0	0.0	0
R _{CIE}	39.92	58.69	27.98	65.01	25
J _{CIE}	81.26	-2.9	71.56	71.62	92
G _{CIE}	52.23	-42.45	13.59	44.59	162
B _{CIE}	30.57	1.35	-46.48	46.51	272

CIELAB-Helligkeit L^*

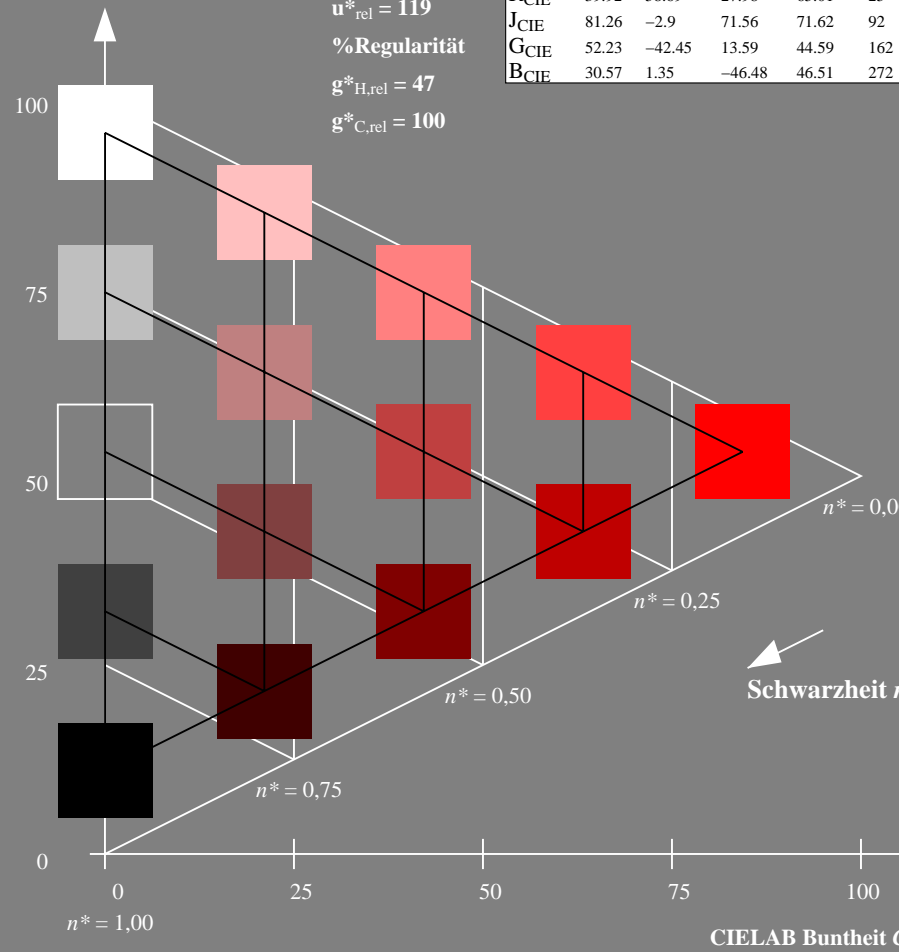
%Umfang

$u^*_{rel} = 119$

%Regularität

$g^*_{H,rel} = 47$

$g^*_{C,rel} = 100$

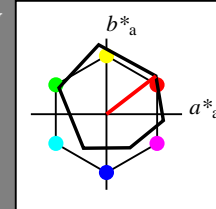


Ausgabe: Farbmetrisches Reflexions-System ORS18

für Buntton $h^* = lab^*h = 38/360 = 0.105$

LAB*LCH, LAB*NCH

D65: Buntton O
 LCH*Ma: 48 83 38
 olv*Ma: 1.0 0.0 0.0



ORS18; adaptierte CIELAB-Daten

	$L^*=L^*_a$	a^*_a	b^*_a	$C^*_{ab,a}$	$h^*_{ab,a}$
O _{Ma}	47.94	65.37	50.52	82.62	38
Y _{Ma}	90.37	-10.27	91.77	92.34	96
L _{Ma}	50.9	-62.79	34.95	71.87	151
C _{Ma}	58.62	-30.35	-45.01	54.3	236
V _{Ma}	25.71	31.11	-44.42	54.24	305
M _{Ma}	48.13	75.27	-8.35	75.73	354
N _{Ma}	18.01	0.0	0.0	0.0	0
W _{Ma}	95.41	0.0	0.0	0.0	0
R _{CIE}	39.92	58.66	26.98	64.56	25
J _{CIE}	81.26	-2.17	67.76	67.79	92
G _{CIE}	52.23	-42.26	11.75	43.87	164
B _{CIE}	30.57	1.15	-46.84	46.87	271

CIELAB-Helligkeit L^*

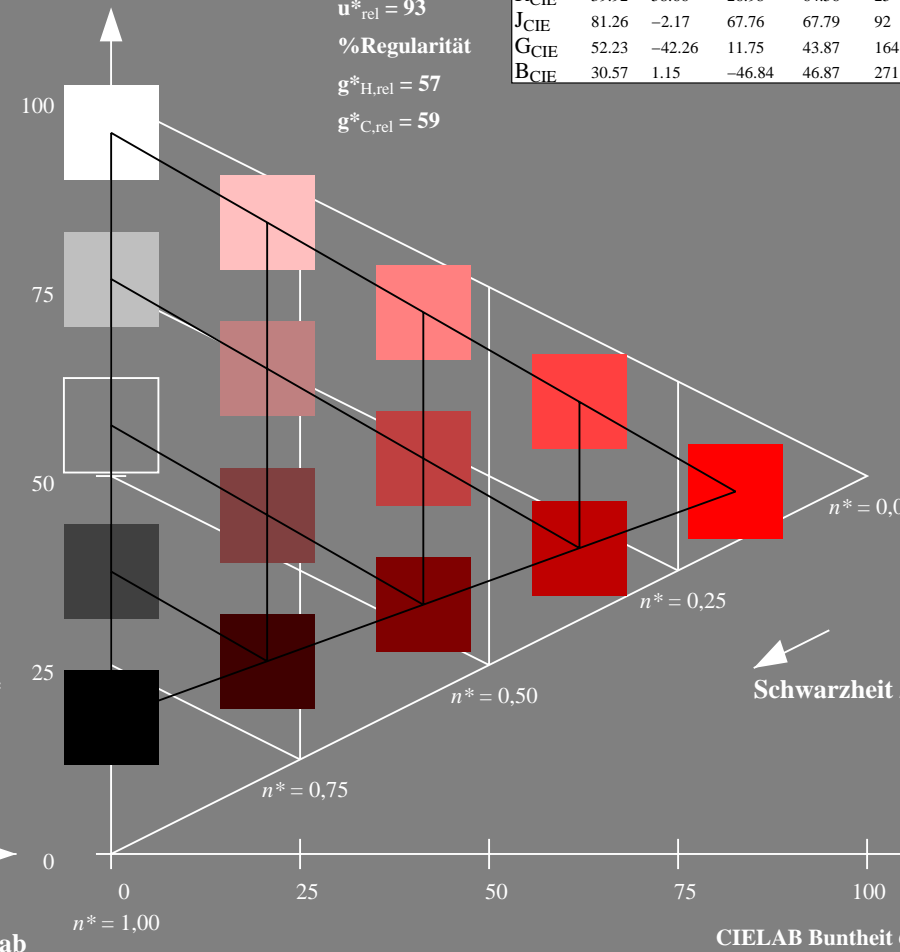
%Umfang

$u^*_{rel} = 93$

%Regularität

$g^*_{H,rel} = 57$

$g^*_{C,rel} = 59$



TG370-7, 5-stufige Reihen für konstanten CIELAB Buntton 24/360 = 0.067 (links)

5-stufige Reihen für konstanten CIELAB Buntton 38/360 = 0.105 (rechts)

Siehe ähnliche Dateien: <http://www.ps.bam.de/TG37/>
 Technische Information: <http://www.ps.bam.de> Version 2.1, io=1,1

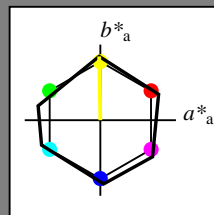
BAM-Registrierung: 20060101-TG37/10Q/Q37G00NP.PS/.PDF BAM-Material: Code=rhatha
 Anwendung für Beurteilung und Messung von Drucker- oder Monitorssystemen
 /TG37/ Form: 1/10, Serie: 1/1, Seite: 1
 Scherzung: 1

Eingabe: Farbmetrisches Reflexions-System NRS11

für Buntton $h^* = lab^*h = 91/360 = 0.253$

LAB*LCH, LAB*NCH

D65: Buntton J
 LCH*Ma: 53 84 91
 olv*Ma: 1.0 1.0 0.0



NRS11; adaptierte CIELAB-Daten

	$L^*=L^*_a$	a^*_a	b^*_a	$C^*_{ab,a}$	$h^*_{ab,a}$
R _{Ma}	53.2	77.06	34.32	84.36	24
J _{Ma}	53.2	-1.51	84.38	84.39	91
G _{Ma}	53.2	-82.27	18.98	84.44	167
G50B _{Ma}	53.2	-77.72	-32.98	84.44	203
B _{Ma}	53.2	4.37	-84.28	84.41	273
B50R _{Ma}	53.2	69.09	-48.41	84.37	325
N _{Ma}	10.99	0.0	0.0	0.0	0
W _{Ma}	95.41	0.0	0.0	0.0	0
R _{CIE}	39.92	58.69	27.98	65.01	25
J _{CIE}	81.26	-2.9	71.56	71.62	92
G _{CIE}	52.23	-42.45	13.59	44.59	162
B _{CIE}	30.57	1.35	-46.48	46.51	272

CIELAB-Helligkeit L^*

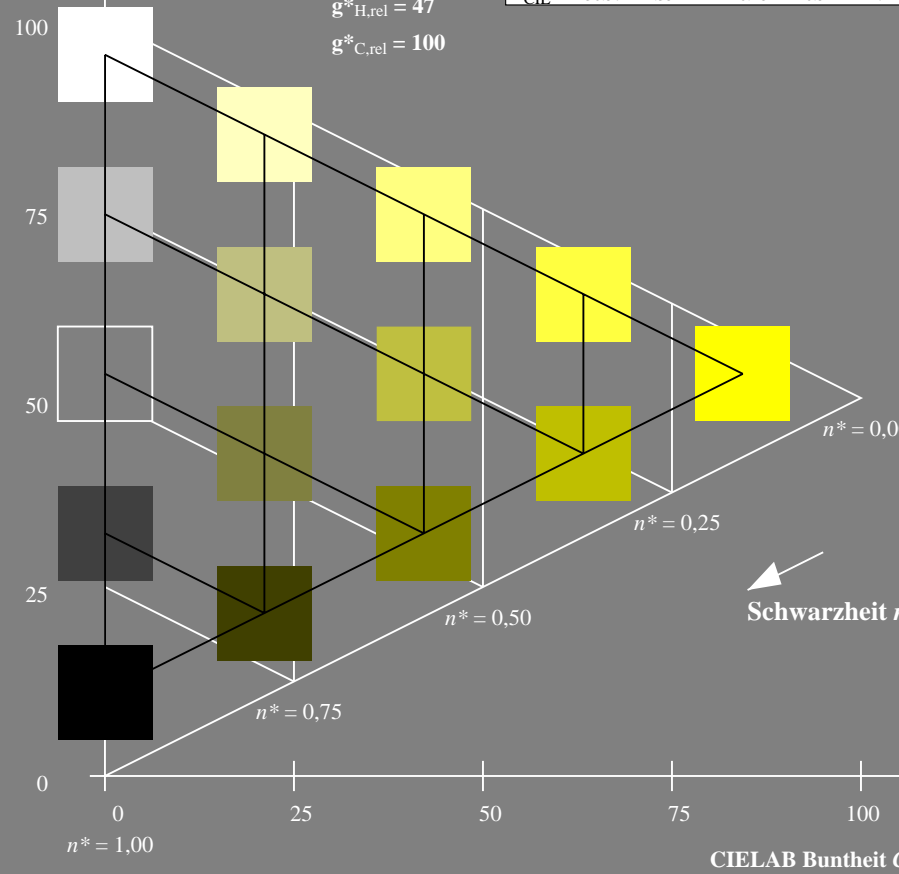
%Umfang

$u^*_{rel} = 119$

%Regularität

$g^*_{H,rel} = 47$

$g^*_{C,rel} = 100$

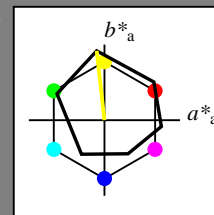


Ausgabe: Farbmetrisches Reflexions-System ORS18

für Buntton $h^* = lab^*h = 96/360 = 0.268$

LAB*LCH, LAB*NCH

D65: Buntton Y
 LCH*Ma: 90 92 96
 olv*Ma: 1.0 1.0 0.0



ORS18; adaptierte CIELAB-Daten

	$L^*=L^*_a$	a^*_a	b^*_a	$C^*_{ab,a}$	$h^*_{ab,a}$
O _{Ma}	47.94	65.37	50.52	82.62	38
Y _{Ma}	90.37	-10.27	91.77	92.34	96
L _{Ma}	50.9	-62.79	34.95	71.87	151
C _{Ma}	58.62	-30.35	-45.01	54.3	236
V _{Ma}	25.71	31.11	-44.42	54.24	305
M _{Ma}	48.13	75.27	-8.35	75.73	354
N _{Ma}	18.01	0.0	0.0	0.0	0
W _{Ma}	95.41	0.0	0.0	0.0	0
R _{CIE}	39.92	58.66	26.98	64.56	25
J _{CIE}	81.26	-2.17	67.76	67.79	92
G _{CIE}	52.23	-42.26	11.75	43.87	164
B _{CIE}	30.57	1.15	-46.84	46.87	271

CIELAB-Helligkeit L^*

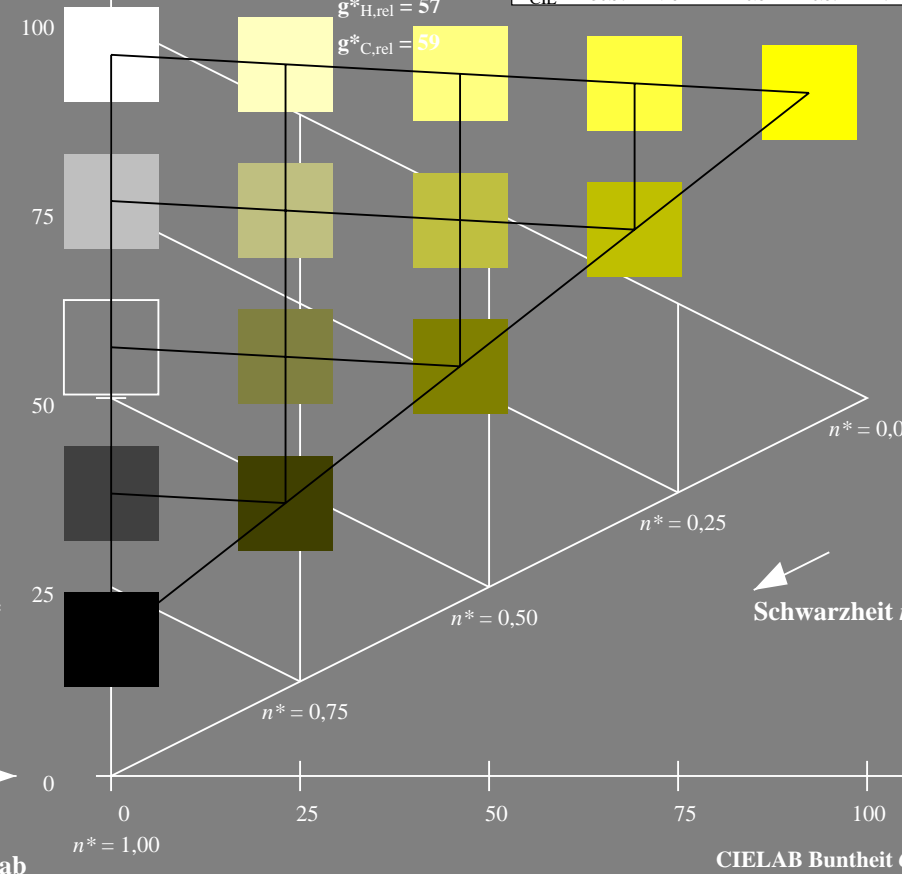
%Umfang

$u^*_{rel} = 93$

%Regularität

$g^*_{H,rel} = 57$

$g^*_{C,rel} = 59$



TG370-7, 5-stufige Reihen für konstanten CIELAB Buntton 91/360 = 0.253 (links)

5-stufige Reihen für konstanten CIELAB Buntton 96/360 = 0.268 (rechts)

BAM-Prüfvorlage TG37; Farbmetrik-Systeme NRS11 & ORS18 input: olv* setrgbcolor

D65: Koordinaten-Systeme von 5-stufigen Farbreihen für 10 Buntton input: no change compared to input

Siehe ähnliche Dateien: <http://www.ps.bam.de/TG37/>
 Technische Information: <http://www.ps.bam.de> Version 2.1, io=1,1

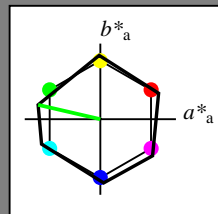
BAM-Registrierung: 20060101-TG37/10Q/Q37G01NP.PS/.PDF BAM-Material: Code=rhatha
 Anwendung für Beurteilung und Messung von Drucker- oder Monitorssystemen
 /TG37/ Form: 2/10, Serie: 1/1, Seite: 2
 Scherzhang 2

Eingabe: Farbmetrisches Reflexions-System NRS11

für Buntton $h^* = lab^*h = 167/360 = 0.464$

LAB*LCH, LAB*NCH

D65: Buntton G
 LCH*Ma: 53 84 167
 olv*Ma: 0.0 1.0 0.0



NRS11; adaptierte CIELAB-Daten

	$L^*=L^*_a$	a^*_a	b^*_a	$C^*_{ab,a}$	$h^*_{ab,a}$
R _{Ma}	53.2	77.06	34.32	84.36	24
J _{Ma}	53.2	-1.51	84.38	84.39	91
G _{Ma}	53.2	-82.27	18.98	84.44	167
G50B _{Ma}	53.2	-77.72	-32.98	84.44	203
B _{Ma}	53.2	4.37	-84.28	84.41	273
B50R _{Ma}	53.2	69.09	-48.41	84.37	325
N _{Ma}	10.99	0.0	0.0	0.0	0
W _{Ma}	95.41	0.0	0.0	0.0	0
R _{CIE}	39.92	58.69	27.98	65.01	25
J _{CIE}	81.26	-2.9	71.56	71.62	92
G _{CIE}	52.23	-42.45	13.59	44.59	162
B _{CIE}	30.57	1.35	-46.48	46.51	272

CIELAB-Helligkeit L^*

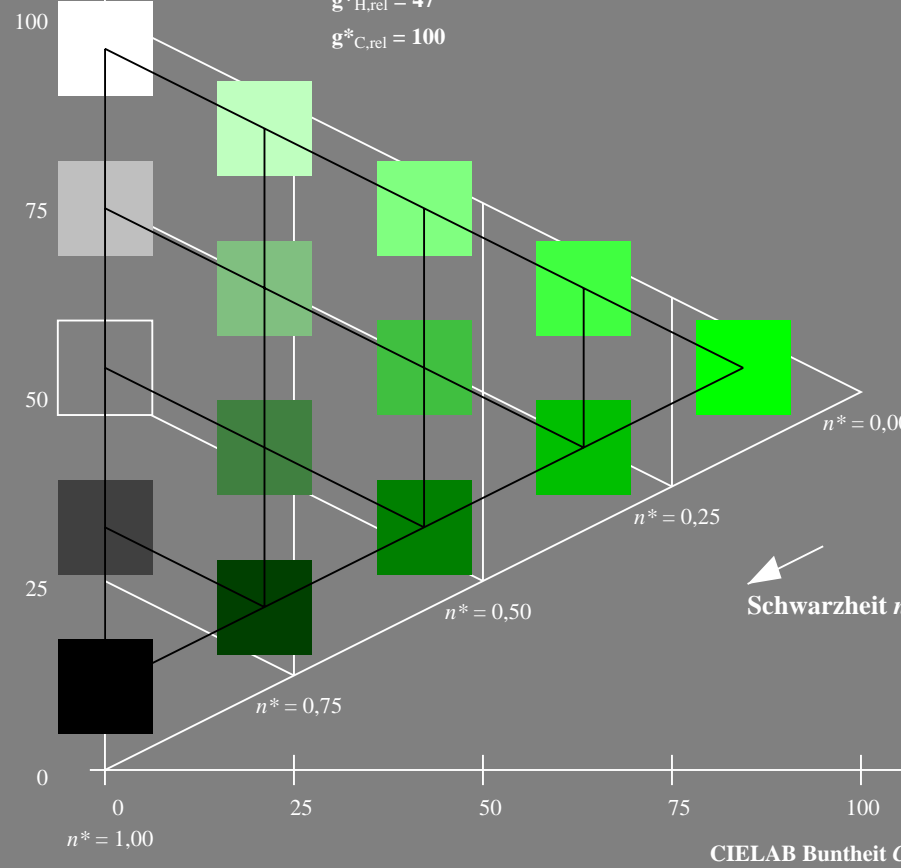
%Umfang

$u^*_{rel} = 119$

%Regularität

$g^*_{H,rel} = 47$

$g^*_{C,rel} = 100$

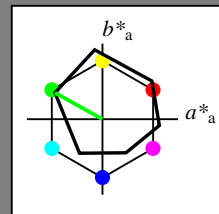


Ausgabe: Farbmetrisches Reflexions-System ORS18

für Buntton $h^* = lab^*h = 151/360 = 0.419$

LAB*LCH, LAB*NCH

D65: Buntton L
 LCH*Ma: 51 72 151
 olv*Ma: 0.0 1.0 0.0



ORS18; adaptierte CIELAB-Daten

	$L^*=L^*_a$	a^*_a	b^*_a	$C^*_{ab,a}$	$h^*_{ab,a}$
O _{Ma}	47.94	65.37	50.52	82.62	38
Y _{Ma}	90.37	-10.27	91.77	92.34	96
L _{Ma}	50.9	-62.79	34.95	71.87	151
C _{Ma}	58.62	-30.35	-45.01	54.3	236
V _{Ma}	25.71	31.11	-44.42	54.24	305
M _{Ma}	48.13	75.27	-8.35	75.73	354
N _{Ma}	18.01	0.0	0.0	0.0	0
W _{Ma}	95.41	0.0	0.0	0.0	0
R _{CIE}	39.92	58.66	26.98	64.56	25
J _{CIE}	81.26	-2.17	67.76	67.79	92
G _{CIE}	52.23	-42.26	11.75	43.87	164
B _{CIE}	30.57	1.15	-46.84	46.87	271

CIELAB-Helligkeit L^*

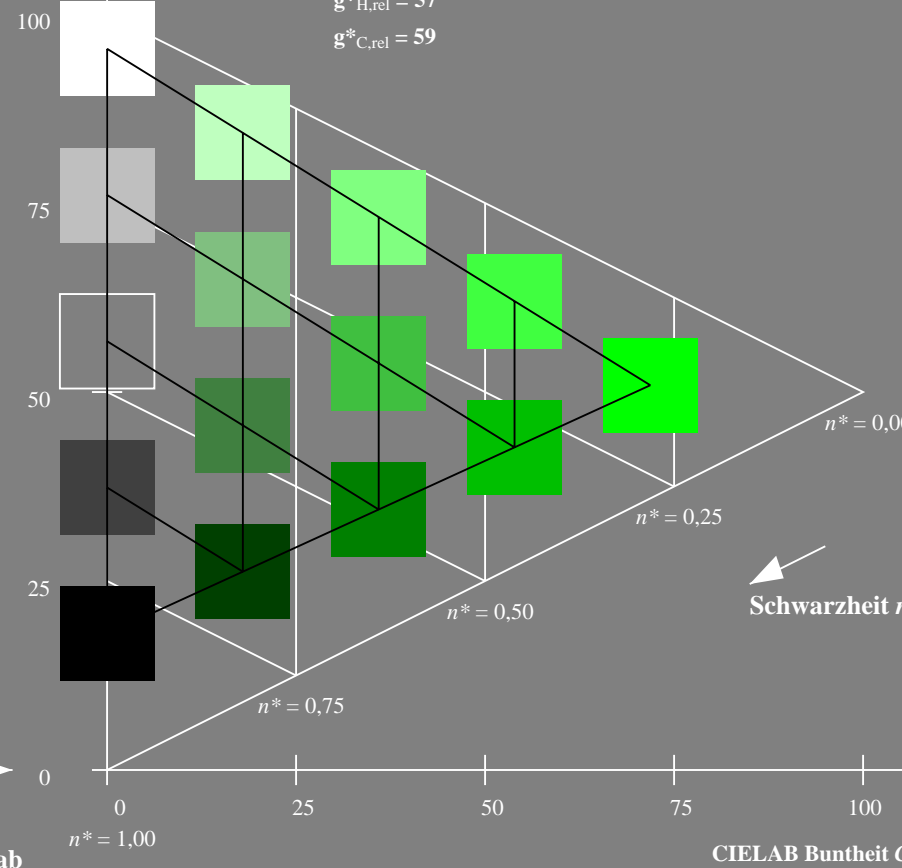
%Umfang

$u^*_{rel} = 93$

%Regularität

$g^*_{H,rel} = 57$

$g^*_{C,rel} = 59$



TG370-7, 5-stufige Reihen für konstanten CIELAB Buntton 167/360 = 0.464 (links)

5-stufige Reihen für konstanten CIELAB Buntton 151/360 = 0.419 (rechts)

BAM-Prüfvorlage TG37; Farbmetrik-Systeme NRS11 & ORS18 input: olv* setrgbcolor

D65: Koordinaten-Systeme von 5-stufigen Farbreihen für 10 Buntton input: no change compared to input

Siehe ähnliche Dateien: <http://www.ps.bam.de/TG37/>
 Technische Information: <http://www.ps.bam.de> Version 2.1, io=1,1

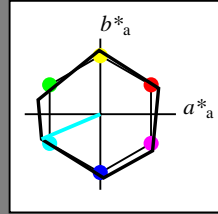
BAM-Registrierung: 20060101-TG37/10Q/Q37G02NP.PS/.PDF BAM-Material: Code=rhatha
 Anwendung für Beurteilung und Messung von Drucker- oder Monitorssystemen
 /TG37/ Form: 3/10, Serie: 1/1, Seite: 3
 Scherzhang 3

Eingabe: Farbmetrisches Reflexions-System NRS11

für Buntton $h^* = lab^*h = 203/360 = 0.564$

LAB*LCH, LAB*NCH

D65: Buntton G50B
 LCH*Ma: 53 84 203
 olv*Ma: 0.0 1.0 1.0



NRS11; adaptierte CIELAB-Daten

	$L^*=L^*_a$	a^*_a	b^*_a	$C^*_{ab,a}$	$h^*_{ab,a}$
R_{Ma}	53.2	77.06	34.32	84.36	24
J_{Ma}	53.2	-1.51	84.38	84.39	91
G_{Ma}	53.2	-82.27	18.98	84.44	167
$G50B_{Ma}$	53.2	-77.72	-32.98	84.44	203
B_{Ma}	53.2	4.37	-84.28	84.41	273
$B50R_{Ma}$	53.2	69.09	-48.41	84.37	325
N_{Ma}	10.99	0.0	0.0	0.0	0
W_{Ma}	95.41	0.0	0.0	0.0	0
R_{CIE}	39.92	58.69	27.98	65.01	25
J_{CIE}	81.26	-2.9	71.56	71.62	92
G_{CIE}	52.23	-42.45	13.59	44.59	162
B_{CIE}	30.57	1.35	-46.48	46.51	272

CIELAB-Helligkeit L^*

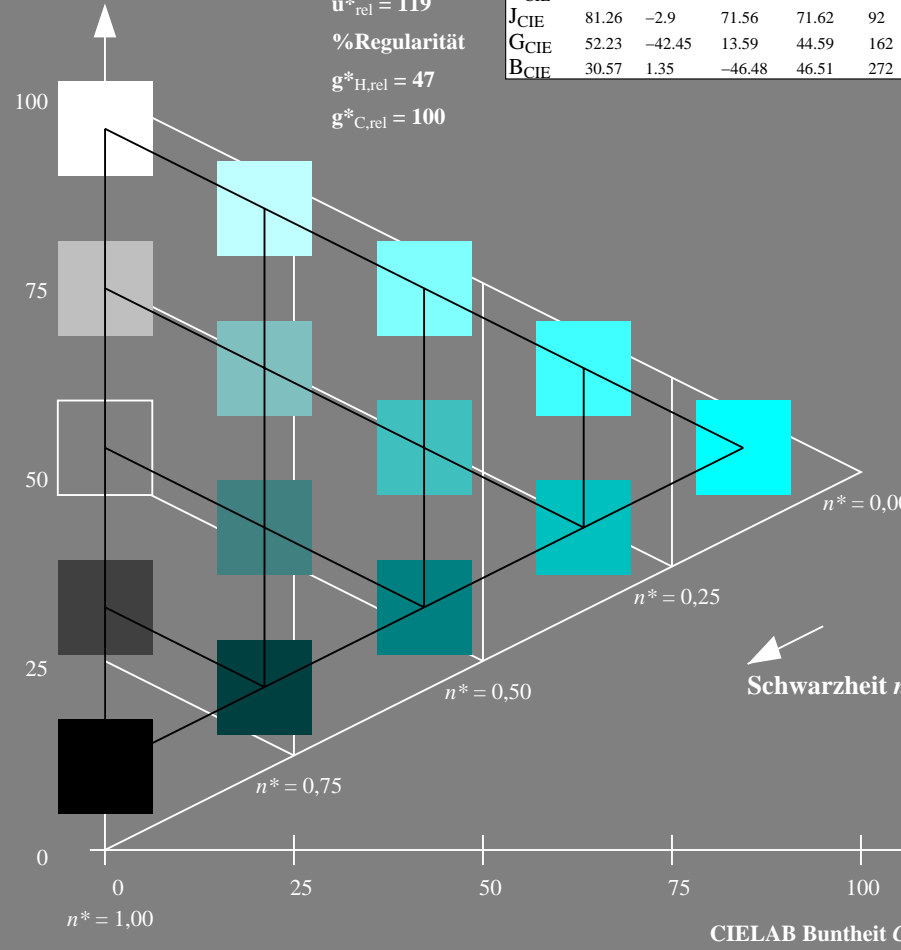
%Umfang

$u^*_{rel} = 119$

%Regularität

$g^*_{H,rel} = 47$

$g^*_{C,rel} = 100$

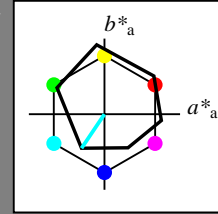


Ausgabe: Farbmetrisches Reflexions-System ORS18

für Buntton $h^* = lab^*h = 236/360 = 0.656$

LAB*LCH, LAB*NCH

D65: Buntton C
 LCH*Ma: 59 54 236
 olv*Ma: 0.0 1.0 1.0



ORS18; adaptierte CIELAB-Daten

	$L^*=L^*_a$	a^*_a	b^*_a	$C^*_{ab,a}$	$h^*_{ab,a}$
O_{Ma}	47.94	65.37	50.52	82.62	38
Y_{Ma}	90.37	-10.27	91.77	92.34	96
L_{Ma}	50.9	-62.79	34.95	71.87	151
C_{Ma}	58.62	-30.35	-45.01	54.3	236
V_{Ma}	25.71	31.11	-44.42	54.24	305
M_{Ma}	48.13	75.27	-8.35	75.73	354
N_{Ma}	18.01	0.0	0.0	0.0	0
W_{Ma}	95.41	0.0	0.0	0.0	0
R_{CIE}	39.92	58.66	26.98	64.56	25
J_{CIE}	81.26	-2.17	67.76	67.79	92
G_{CIE}	52.23	-42.26	11.75	43.87	164
B_{CIE}	30.57	1.15	-46.84	46.87	271

CIELAB-Helligkeit L^*

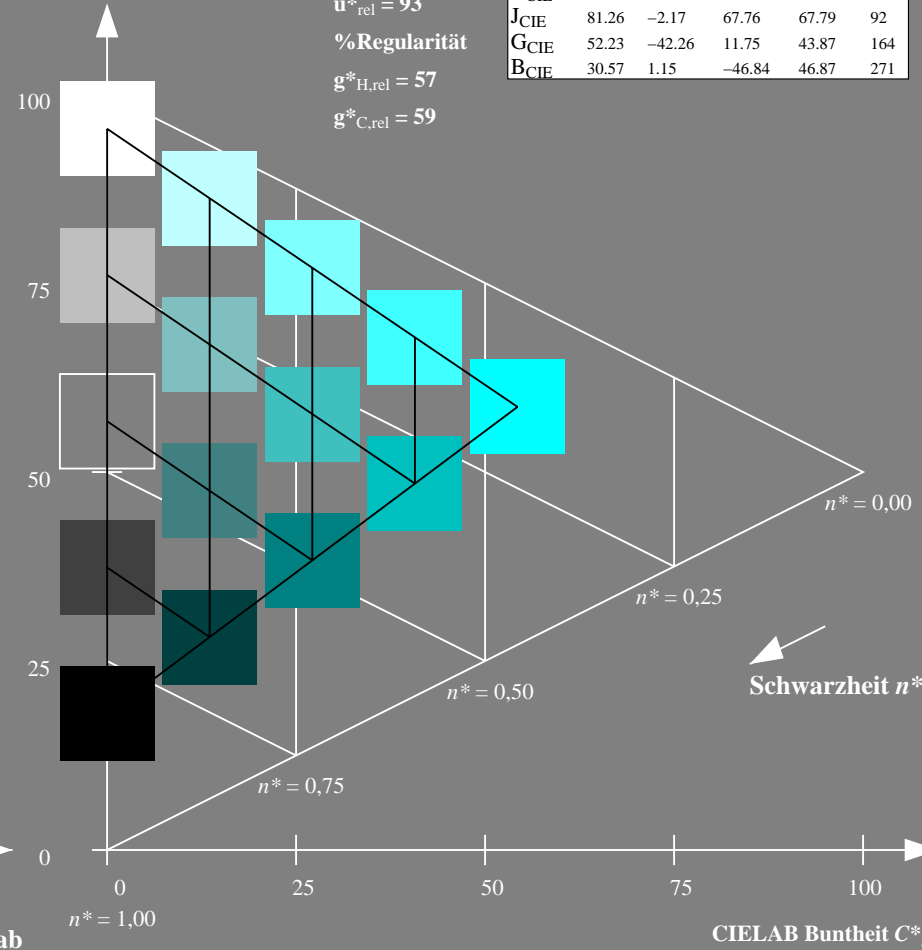
%Umfang

$u^*_{rel} = 93$

%Regularität

$g^*_{H,rel} = 57$

$g^*_{C,rel} = 59$



TG370-7, 5-stufige Reihen für konstanten CIELAB Buntton $203/360 = 0.564$ (links)

5-stufige Reihen für konstanten CIELAB Buntton $236/360 = 0.656$ (rechts)

BAM-Prüfvorlage TG37; Farbmetrik-Systeme NRS11 & ORS18 input: olv* setrgbcolor

D65: Koordinaten-Systeme von 5-stufigen Farbreihen für 10 Buntton input: no change compared to input

Siehe ähnliche Dateien: <http://www.ps.bam.de/TG37/>
 Technische Information: <http://www.ps.bam.de> Version 2.1, io=1,1

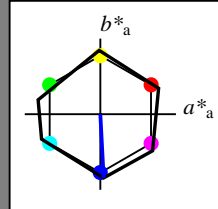
BAM-Registrierung: 20060101-TG37/10Q/Q37G03NP.PS/.PDF BAM-Material: Code=rh4ta
 Anwendung für Beurteilung und Messung von Drucker- oder Monitorssystemen
 /TG37/ Form: 4/10, Serie: 1/1, Seite: 4
 Schenzhung 4

Eingabe: Farbmetrisches Reflexions-System NRS11

für Buntton $h^* = lab^*h = 273/360 = 0.758$

LAB*LCH, LAB*NCH

D65: Buntton B
 LCH*Ma: 53 84 273
 olv*Ma: 0.0 0.0 1.0



NRS11; adaptierte CIELAB-Daten

	$L^*=L^*_a$	a^*_a	b^*_a	$C^*_{ab,a}$	$h^*_{ab,a}$
R _{Ma}	53.2	77.06	34.32	84.36	24
J _{Ma}	53.2	-1.51	84.38	84.39	91
G _{Ma}	53.2	-82.27	18.98	84.44	167
G50B _{Ma}	53.2	-77.72	-32.98	84.44	203
B _{Ma}	53.2	4.37	-84.28	84.41	273
B50R _{Ma}	53.2	69.09	-48.41	84.37	325
N _{Ma}	10.99	0.0	0.0	0.0	0
W _{Ma}	95.41	0.0	0.0	0.0	0
R _{CIE}	39.92	58.69	27.98	65.01	25
J _{CIE}	81.26	-2.9	71.56	71.62	92
G _{CIE}	52.23	-42.45	13.59	44.59	162
B _{CIE}	30.57	1.35	-46.48	46.51	272

CIELAB-Helligkeit L^*

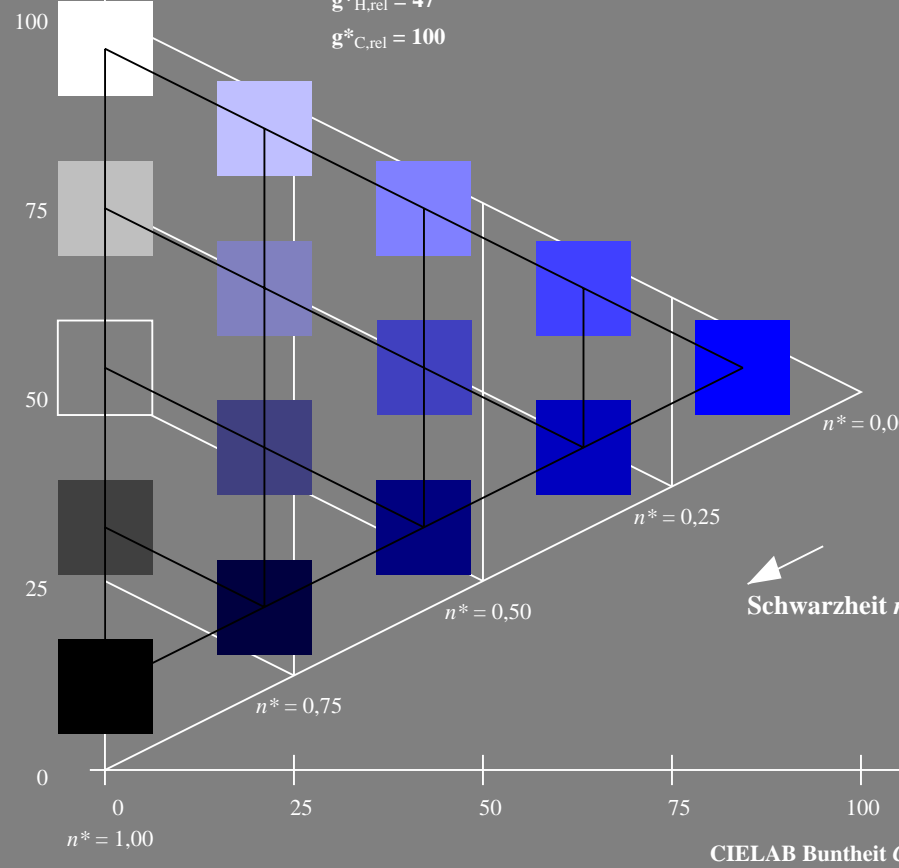
%Umfang

$u^*_{rel} = 119$

%Regularität

$g^*_{H,rel} = 47$

$g^*_{C,rel} = 100$

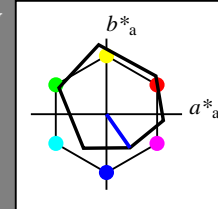


Ausgabe: Farbmetrisches Reflexions-System ORS18

für Buntton $h^* = lab^*h = 305/360 = 0.847$

LAB*LCH, LAB*NCH

D65: Buntton V
 LCH*Ma: 26 54 305
 olv*Ma: 0.0 0.0 1.0



ORS18; adaptierte CIELAB-Daten

	$L^*=L^*_a$	a^*_a	b^*_a	$C^*_{ab,a}$	$h^*_{ab,a}$
O _{Ma}	47.94	65.37	50.52	82.62	38
Y _{Ma}	90.37	-10.27	91.77	92.34	96
L _{Ma}	50.9	-62.79	34.95	71.87	151
C _{Ma}	58.62	-30.35	-45.01	54.3	236
V _{Ma}	25.71	31.11	-44.42	54.24	305
M _{Ma}	48.13	75.27	-8.35	75.73	354
N _{Ma}	18.01	0.0	0.0	0.0	0
W _{Ma}	95.41	0.0	0.0	0.0	0
R _{CIE}	39.92	58.66	26.98	64.56	25
J _{CIE}	81.26	-2.17	67.76	67.79	92
G _{CIE}	52.23	-42.26	11.75	43.87	164
B _{CIE}	30.57	1.15	-46.84	46.87	271

CIELAB-Helligkeit L^*

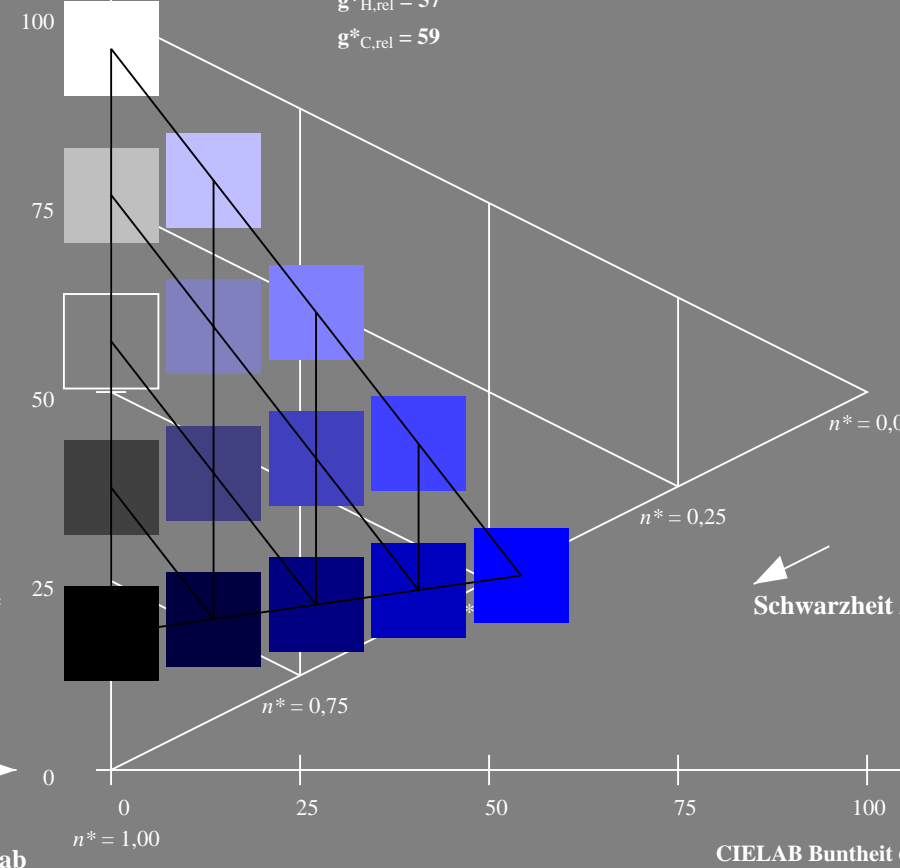
%Umfang

$u^*_{rel} = 93$

%Regularität

$g^*_{H,rel} = 57$

$g^*_{C,rel} = 59$



TG370-7, 5-stufige Reihen für konstanten CIELAB Buntton 273/360 = 0.758 (links)

5-stufige Reihen für konstanten CIELAB Buntton 305/360 = 0.847 (rechts)

BAM-Prüfvorlage TG37; Farbmetrik-Systeme NRS11 & ORS18 input: olv* setrgbcolor

D65: Koordinaten-Systeme von 5-stufigen Farbreihen für 10 Buntton input: no change compared to input

Siehe ähnliche Dateien: <http://www.ps.bam.de/TG37/>
 Technische Information: <http://www.ps.bam.de> Version 2.1, io=1,1

BAM-Registrierung: 20060101-TG37/10Q/Q37G04NP.PS/.PDF BAM-Material: Code=rhatha
 Anwendung für Beurteilung und Messung von Drucker- oder Monitorssystemen
 /TG37/ Form: 5/10, Serie: 1/1, Seite: 5
 Scherzhang 5

Eingabe: Farbmetrisches Reflexions-System NRS11

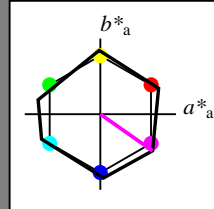
für Buntton $h^* = lab^*h = 325/360 = 0.903$

LAB*LCH, LAB*NCH

D65: Buntton B50R

LCH*Ma: 53 84 325

olv*Ma: 1.0 0.0 1.0



NRS11; adaptierte CIELAB-Daten

	$L^*=L^*_a$	a^*_a	b^*_a	$C^*_{ab,a}$	$h^*_{ab,a}$
R _{Ma}	53.2	77.06	34.32	84.36	24
J _{Ma}	53.2	-1.51	84.38	84.39	91
G _{Ma}	53.2	-82.27	18.98	84.44	167
G50B _{Ma}	53.2	-77.72	-32.98	84.44	203
B _{Ma}	53.2	4.37	-84.28	84.41	273
B50R _{Ma}	53.2	69.09	-48.41	84.37	325
N _{Ma}	10.99	0.0	0.0	0.0	0
W _{Ma}	95.41	0.0	0.0	0.0	0
R _{CIE}	39.92	58.69	27.98	65.01	25
J _{CIE}	81.26	-2.9	71.56	71.62	92
G _{CIE}	52.23	-42.45	13.59	44.59	162
B _{CIE}	30.57	1.35	-46.48	46.51	272

CIELAB-Helligkeit L^*

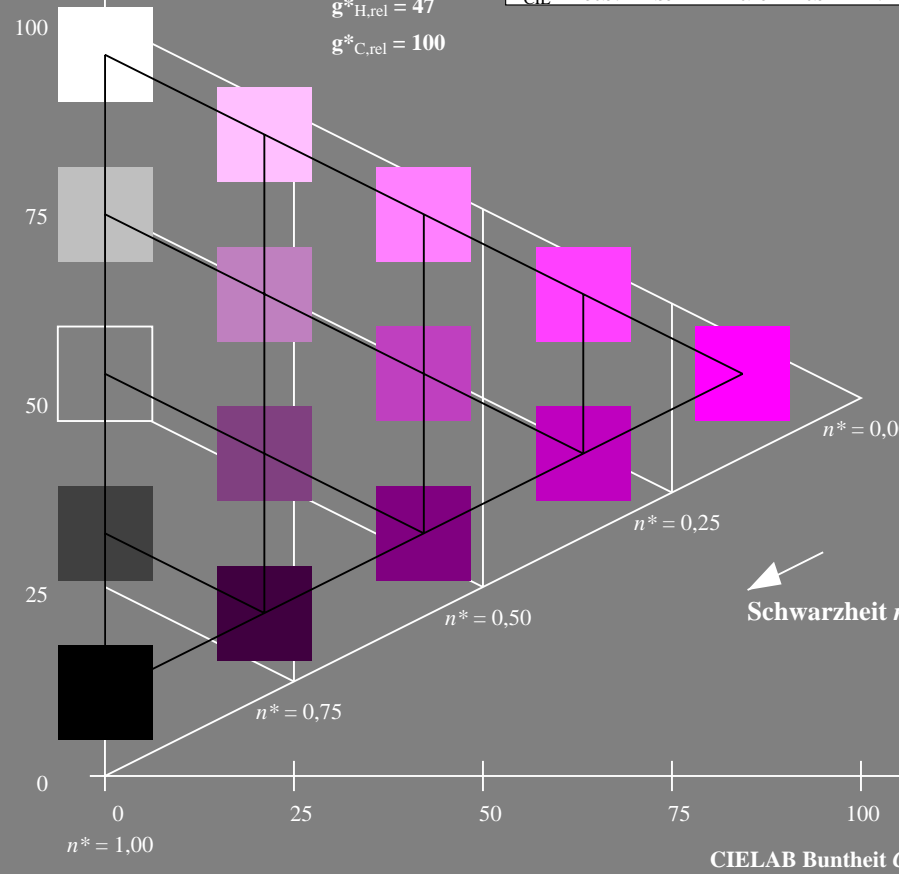
%Umfang

$u^*_{rel} = 119$

%Regularität

$g^*_{H,rel} = 47$

$g^*_{C,rel} = 100$



Ausgabe: Farbmetrisches Reflexions-System ORS18

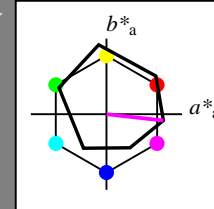
für Buntton $h^* = lab^*h = 354/360 = 0.982$

LAB*LCH, LAB*NCH

D65: Buntton M

LCH*Ma: 48 76 354

olv*Ma: 1.0 0.0 1.0



ORS18; adaptierte CIELAB-Daten

	$L^*=L^*_a$	a^*_a	b^*_a	$C^*_{ab,a}$	$h^*_{ab,a}$
O _{Ma}	47.94	65.37	50.52	82.62	38
Y _{Ma}	90.37	-10.27	91.77	92.34	96
L _{Ma}	50.9	-62.79	34.95	71.87	151
C _{Ma}	58.62	-30.35	-45.01	54.3	236
V _{Ma}	25.71	31.11	-44.42	54.24	305
M _{Ma}	48.13	75.27	-8.35	75.73	354
N _{Ma}	18.01	0.0	0.0	0.0	0
W _{Ma}	95.41	0.0	0.0	0.0	0
R _{CIE}	39.92	58.66	26.98	64.56	25
J _{CIE}	81.26	-2.17	67.76	67.79	92
G _{CIE}	52.23	-42.26	11.75	43.87	164
B _{CIE}	30.57	1.15	-46.84	46.87	271

CIELAB-Helligkeit L^*

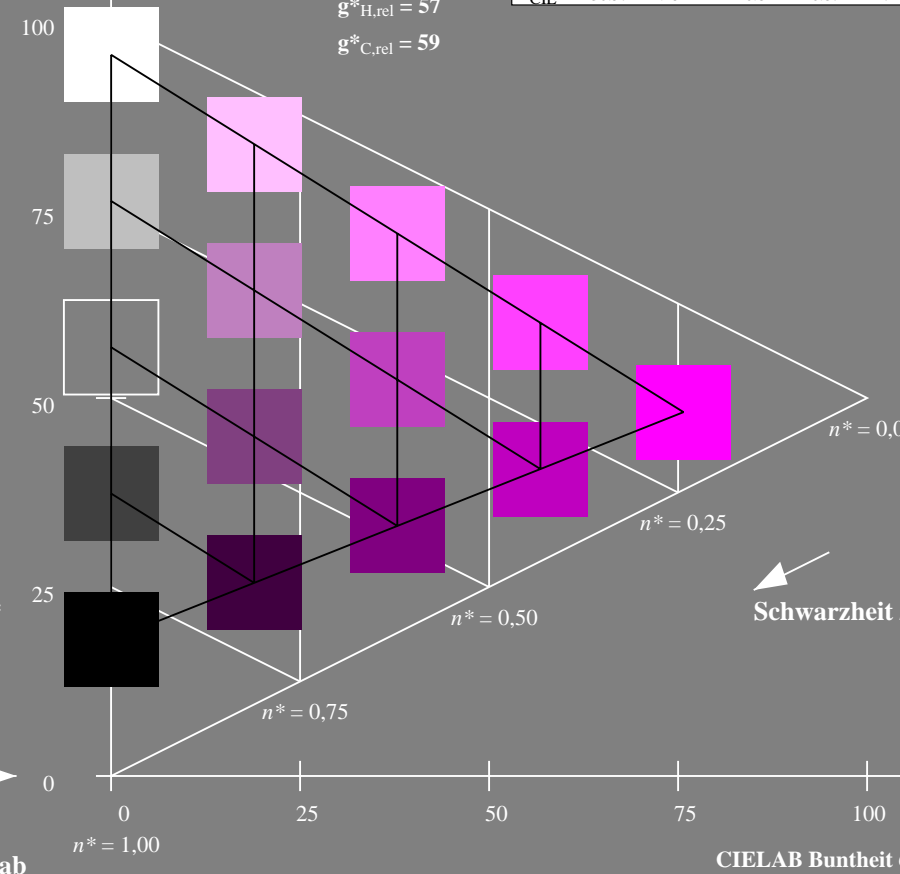
%Umfang

$u^*_{rel} = 93$

%Regularität

$g^*_{H,rel} = 57$

$g^*_{C,rel} = 59$



TG370-7, 5-stufige Reihen für konstanten CIELAB Buntton 325/360 = 0.903 (links)

5-stufige Reihen für konstanten CIELAB Buntton 354/360 = 0.982 (rechts)

BAM-Prüfvorlage TG37; Farbmetrik-Systeme NRS11 & ORS18 input: olv* setrgbcolor

D65: Koordinaten-Systeme von 5-stufigen Farbreihen für 10 Buntton input: no change compared to input

Siehe ähnliche Dateien: <http://www.ps.bam.de/TG37/>
 Technische Information: <http://www.ps.bam.de> Version 2.1, io=1,1

BAM-Registrierung: 20060101-TG37/10Q/Q37G05NP.PS/.PDF BAM-Material: Code=rh4ta
 Anwendung für Beurteilung und Messung von Drucker- oder Monitorssystemen
 /TG37/ Form: 6/10, Serie: 1/1, Seite: 6
 Scherzhang 6

Eingabe: Farbmetrisches Reflexions-System NRS11

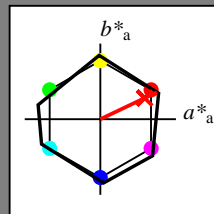
für Buntton $h^* = lab^*h = 25/360 = 0.071$

LAB*LCH, LAB*NCH

D65: Buntton R

LCH*Ma: 53 83 25

olv*Ma: 1.0 0.03 0.0



NRS11; adaptierte CIELAB-Daten

	$L^*=L^*_a$	a^*_a	b^*_a	$C^*_{ab,a}$	$h^*_{ab,a}$
R _{Ma}	53.2	77.06	34.32	84.36	24
J _{Ma}	53.2	-1.51	84.38	84.39	91
G _{Ma}	53.2	-82.27	18.98	84.44	167
G50B _{Ma}	53.2	-77.72	-32.98	84.44	203
B _{Ma}	53.2	4.37	-84.28	84.41	273
B50R _{Ma}	53.2	69.09	-48.41	84.37	325
N _{Ma}	10.99	0.0	0.0	0.0	0
W _{Ma}	95.41	0.0	0.0	0.0	0
R _{CIE}	39.92	58.69	27.98	65.01	25
J _{CIE}	81.26	-2.9	71.56	71.62	92
G _{CIE}	52.23	-42.45	13.59	44.59	162
B _{CIE}	30.57	1.35	-46.48	46.51	272

CIELAB-Helligkeit L^*

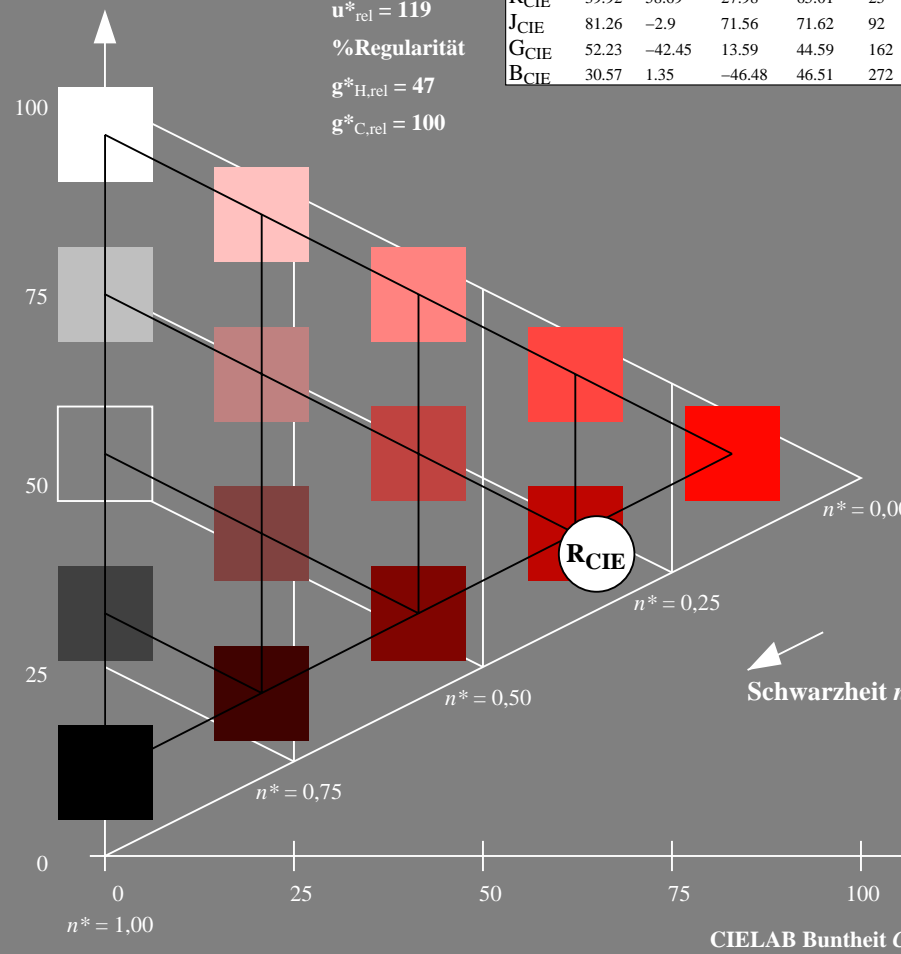
%Umfang

$u^*_{rel} = 119$

%Regularität

$g^*_{H,rel} = 47$

$g^*_{C,rel} = 100$



Ausgabe: Farbmetrisches Reflexions-System ORS18

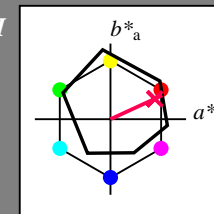
für Buntton $h^* = lab^*h = 25/360 = 0.069$

LAB*LCH, LAB*NCH

D65: Buntton R

LCH*Ma: 48 75 25

olv*Ma: 1.0 0.0 0.32



ORS18; adaptierte CIELAB-Daten

	$L^*=L^*_a$	a^*_a	b^*_a	$C^*_{ab,a}$	$h^*_{ab,a}$
O _{Ma}	47.94	65.37	50.52	82.62	38
Y _{Ma}	90.37	-10.27	91.77	92.34	96
L _{Ma}	50.9	-62.79	34.95	71.87	151
C _{Ma}	58.62	-30.35	-45.01	54.3	236
V _{Ma}	25.71	31.11	-44.42	54.24	305
M _{Ma}	48.13	75.27	-8.35	75.73	354
N _{Ma}	18.01	0.0	0.0	0.0	0
W _{Ma}	95.41	0.0	0.0	0.0	0
R _{CIE}	39.92	58.66	26.98	64.56	25
J _{CIE}	81.26	-2.17	67.76	67.79	92
G _{CIE}	52.23	-42.26	11.75	43.87	164
B _{CIE}	30.57	1.15	-46.84	46.87	271

CIELAB-Helligkeit L^*

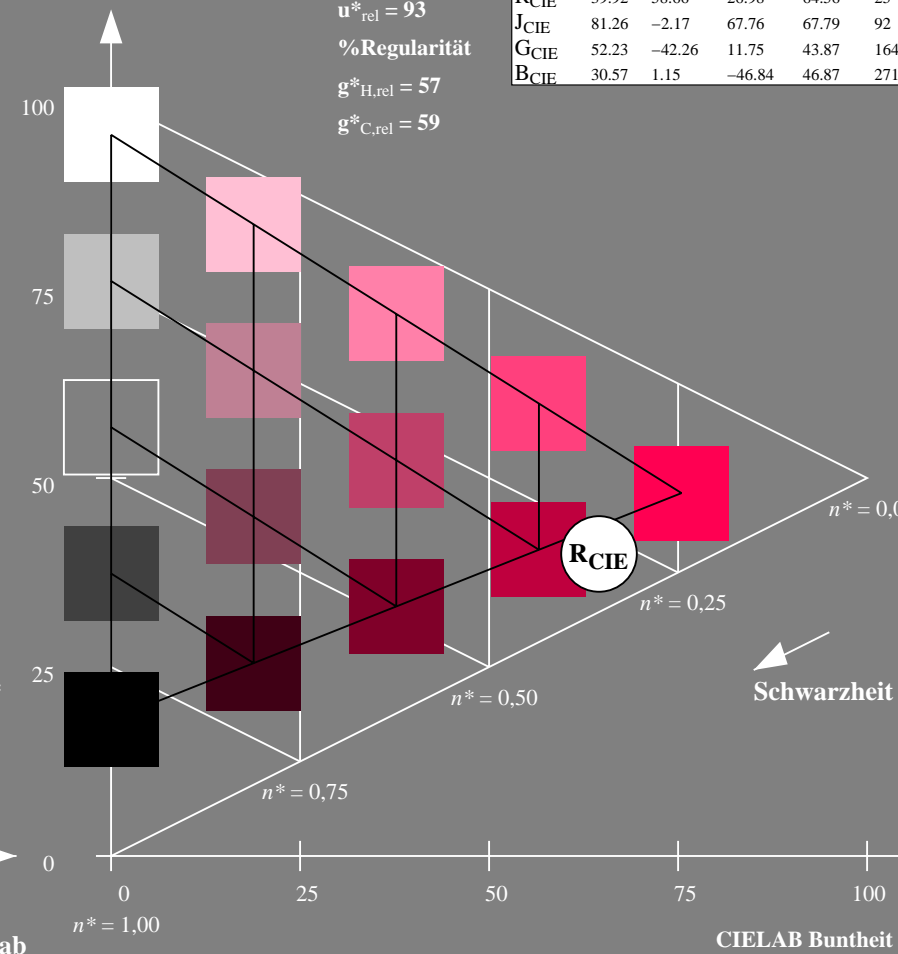
%Umfang

$u^*_{rel} = 93$

%Regularität

$g^*_{H,rel} = 57$

$g^*_{C,rel} = 59$



TG370-7, 5-stufige Reihen für konstanten CIELAB Buntton 25/360 = 0.071 (links)

5-stufige Reihen für konstanten CIELAB Buntton 25/360 = 0.069 (rechts)

BAM-Prüfvorlage TG37; Farbmetrik-Systeme NRS11 & ORS18 input: olv* setrgbcolor

D65: Koordinaten-Systeme von 5-stufigen Farbreihen für 10 Buntton input: no change compared to input

Siehe ähnliche Dateien: <http://www.ps.bam.de/TG37/>
 Technische Information: <http://www.ps.bam.de> Version 2.1, io=1,1

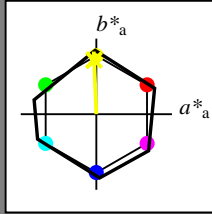
BAM-Registrierung: 20060101-TG37/10Q/Q37G06NP.PS/.PDF BAM-Material: Code=rhatha
 Anwendung für Beurteilung und Messung von Drucker- oder Monitorssystemen
 /TG37/ Form: 7/10, Serie: 1/1, Seite: 7
 Scherzhang 7

Eingabe: Farbmetrisches Reflexions-System NRS11

für Buntton $h^* = lab^*h = 92/360 = 0.256$

LAB*LCH, LAB*NCH

D65: Buntton J
 LCH*Ma: 53 83 92
 olv*Ma: 0.98 1.0 0.0



NRS11; adaptierte CIELAB-Daten

	$L^*=L^*_a$	a^*_a	b^*_a	$C^*_{ab,a}$	$h^*_{ab,a}$
R _{Ma}	53.2	77.06	34.32	84.36	24
J _{Ma}	53.2	-1.51	84.38	84.39	91
G _{Ma}	53.2	-82.27	18.98	84.44	167
G50B _{Ma}	53.2	-77.72	-32.98	84.44	203
B _{Ma}	53.2	4.37	-84.28	84.41	273
B50R _{Ma}	53.2	69.09	-48.41	84.37	325
N _{Ma}	10.99	0.0	0.0	0.0	0
W _{Ma}	95.41	0.0	0.0	0.0	0
R _{CIE}	39.92	58.69	27.98	65.01	25
J _{CIE}	81.26	-2.9	71.56	71.62	92
G _{CIE}	52.23	-42.45	13.59	44.59	162
B _{CIE}	30.57	1.35	-46.48	46.51	272

CIELAB-Helligkeit L^*

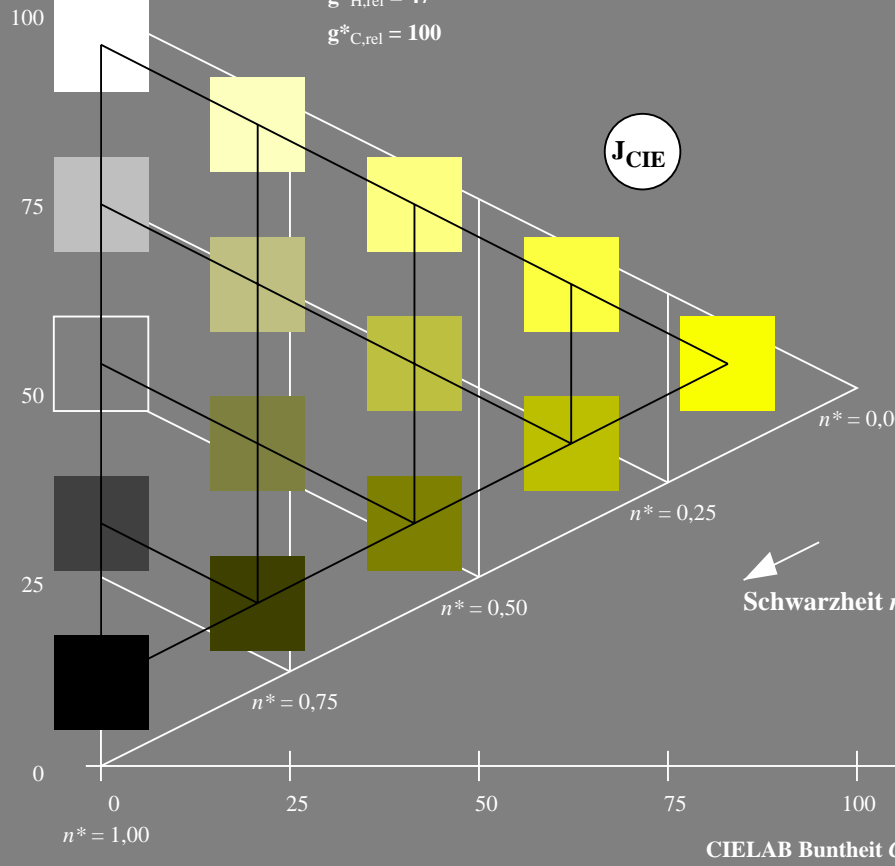
%Umfang

$u^*_{rel} = 119$

%Regularität

$g^*_{H,rel} = 47$

$g^*_{C,rel} = 100$

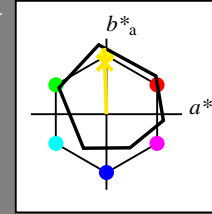


Ausgabe: Farbmetrisches Reflexions-System ORS18

für Buntton $h^* = lab^*h = 92/360 = 0.255$

LAB*LCH, LAB*NCH

D65: Buntton J
 LCH*Ma: 86 88 92
 olv*Ma: 1.0 0.9 0.0



ORS18; adaptierte CIELAB-Daten

	$L^*=L^*_a$	a^*_a	b^*_a	$C^*_{ab,a}$	$h^*_{ab,a}$
O _{Ma}	47.94	65.37	50.52	82.62	38
Y _{Ma}	90.37	-10.27	91.77	92.34	96
L _{Ma}	50.9	-62.79	34.95	71.87	151
C _{Ma}	58.62	-30.35	-45.01	54.3	236
V _{Ma}	25.71	31.11	-44.42	54.24	305
M _{Ma}	48.13	75.27	-8.35	75.73	354
N _{Ma}	18.01	0.0	0.0	0.0	0
W _{Ma}	95.41	0.0	0.0	0.0	0
R _{CIE}	39.92	58.66	26.98	64.56	25
J _{CIE}	81.26	-2.17	67.76	67.79	92
G _{CIE}	52.23	-42.26	11.75	43.87	164
B _{CIE}	30.57	1.15	-46.84	46.87	271

CIELAB-Helligkeit L^*

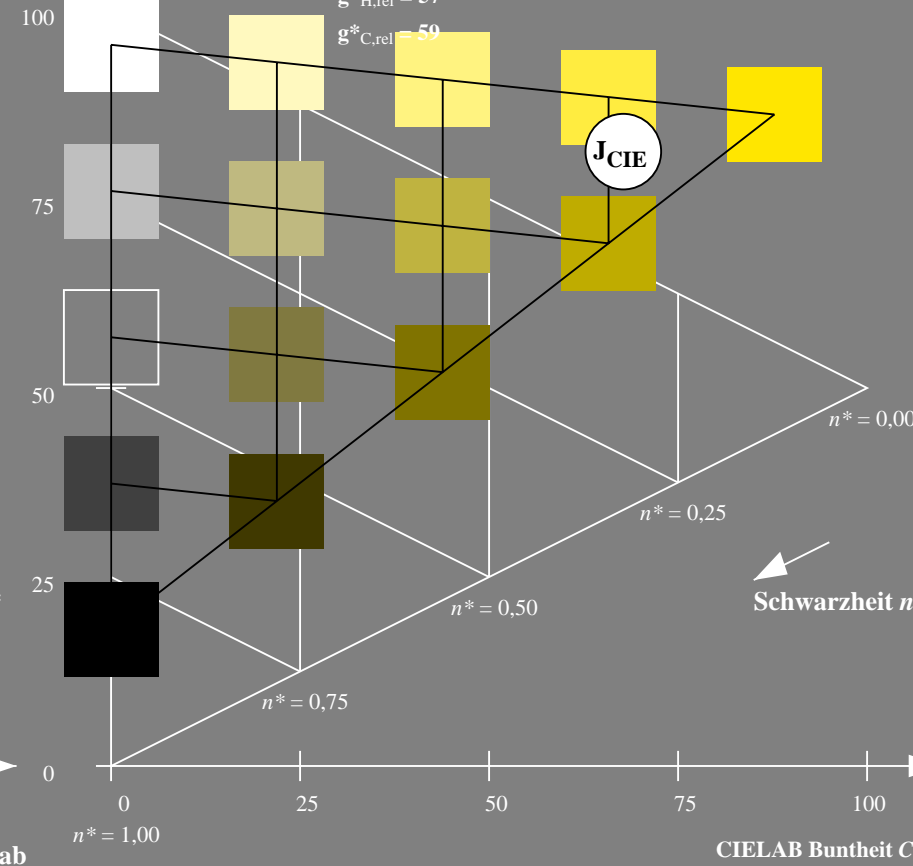
%Umfang

$u^*_{rel} = 93$

%Regularität

$g^*_{H,rel} = 57$

$g^*_{C,rel} = 59$



TG370-7, 5-stufige Reihen für konstanten CIELAB Buntton 92/360 = 0.256 (links)

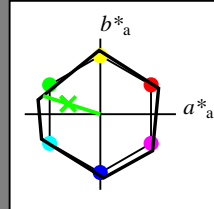
5-stufige Reihen für konstanten CIELAB Buntton 92/360 = 0.255 (rechts)

Eingabe: Farbmetrisches Reflexions-System NRS11

für Buntton $h^* = lab^*h = 162/360 = 0.451$

LAB*LCH, LAB*NCH

D65: Buntton G
 LCH*Ma: 53 80 162
 olv*Ma: 0.08 1.0 0.0



NRS11; adaptierte CIELAB-Daten

	$L^*=L^*_a$	a^*_a	b^*_a	$C^*_{ab,a}$	$h^*_{ab,a}$
R _{Ma}	53.2	77.06	34.32	84.36	24
J _{Ma}	53.2	-1.51	84.38	84.39	91
G _{Ma}	53.2	-82.27	18.98	84.44	167
G50B _{Ma}	53.2	-77.72	-32.98	84.44	203
B _{Ma}	53.2	4.37	-84.28	84.41	273
B50R _{Ma}	53.2	69.09	-48.41	84.37	325
N _{Ma}	10.99	0.0	0.0	0.0	0
W _{Ma}	95.41	0.0	0.0	0.0	0
R _{CIE}	39.92	58.69	27.98	65.01	25
J _{CIE}	81.26	-2.9	71.56	71.62	92
G _{CIE}	52.23	-42.45	13.59	44.59	162
B _{CIE}	30.57	1.35	-46.48	46.51	272

CIELAB-Helligkeit L^*

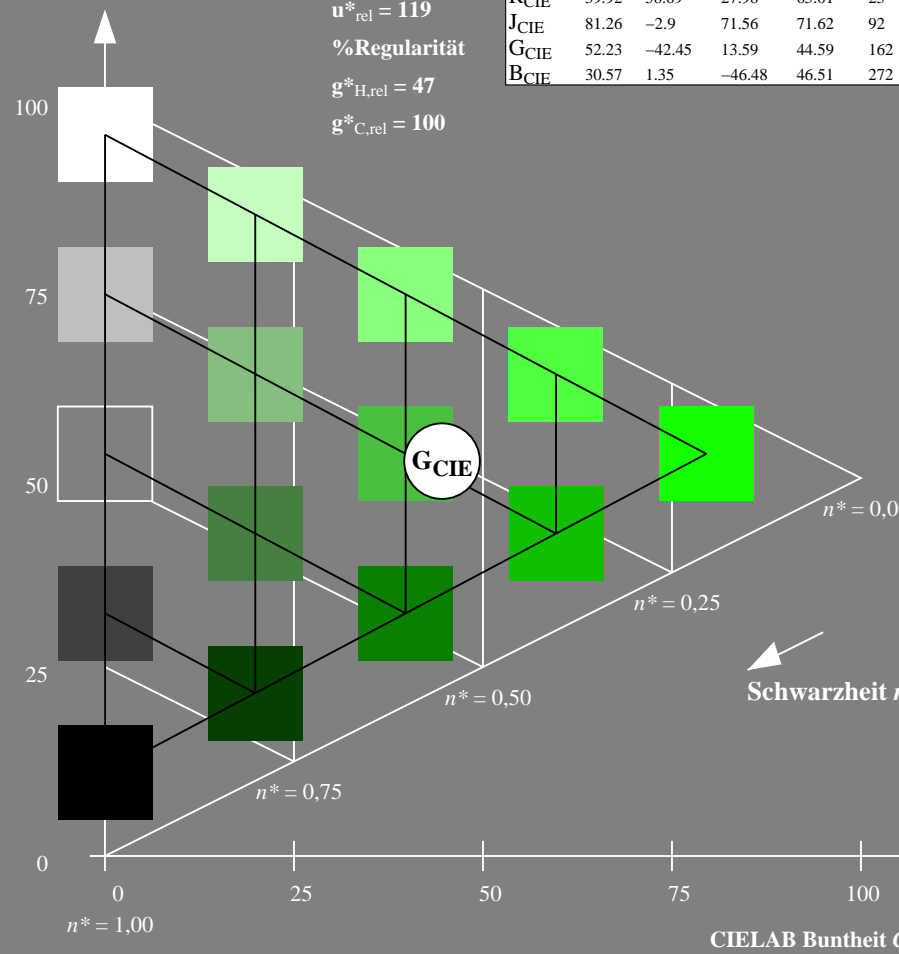
%Umfang

$u^*_{rel} = 119$

%Regularität

$g^*_{H,rel} = 47$

$g^*_{C,rel} = 100$

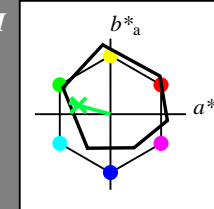


Ausgabe: Farbmetrisches Reflexions-System ORS18

für Buntton $h^* = lab^*h = 164/360 = 0.457$

LAB*LCH, LAB*NCH

D65: Buntton G
 LCH*Ma: 53 57 164
 olv*Ma: 0.0 1.0 0.25



ORS18; adaptierte CIELAB-Daten

	$L^*=L^*_a$	a^*_a	b^*_a	$C^*_{ab,a}$	$h^*_{ab,a}$
O _{Ma}	47.94	65.37	50.52	82.62	38
Y _{Ma}	90.37	-10.27	91.77	92.34	96
L _{Ma}	50.9	-62.79	34.95	71.87	151
C _{Ma}	58.62	-30.35	-45.01	54.3	236
V _{Ma}	25.71	31.11	-44.42	54.24	305
M _{Ma}	48.13	75.27	-8.35	75.73	354
N _{Ma}	18.01	0.0	0.0	0.0	0
W _{Ma}	95.41	0.0	0.0	0.0	0
R _{CIE}	39.92	58.66	26.98	64.56	25
J _{CIE}	81.26	-2.17	67.76	67.79	92
G _{CIE}	52.23	-42.26	11.75	43.87	164
B _{CIE}	30.57	1.15	-46.84	46.87	271

CIELAB-Helligkeit L^*

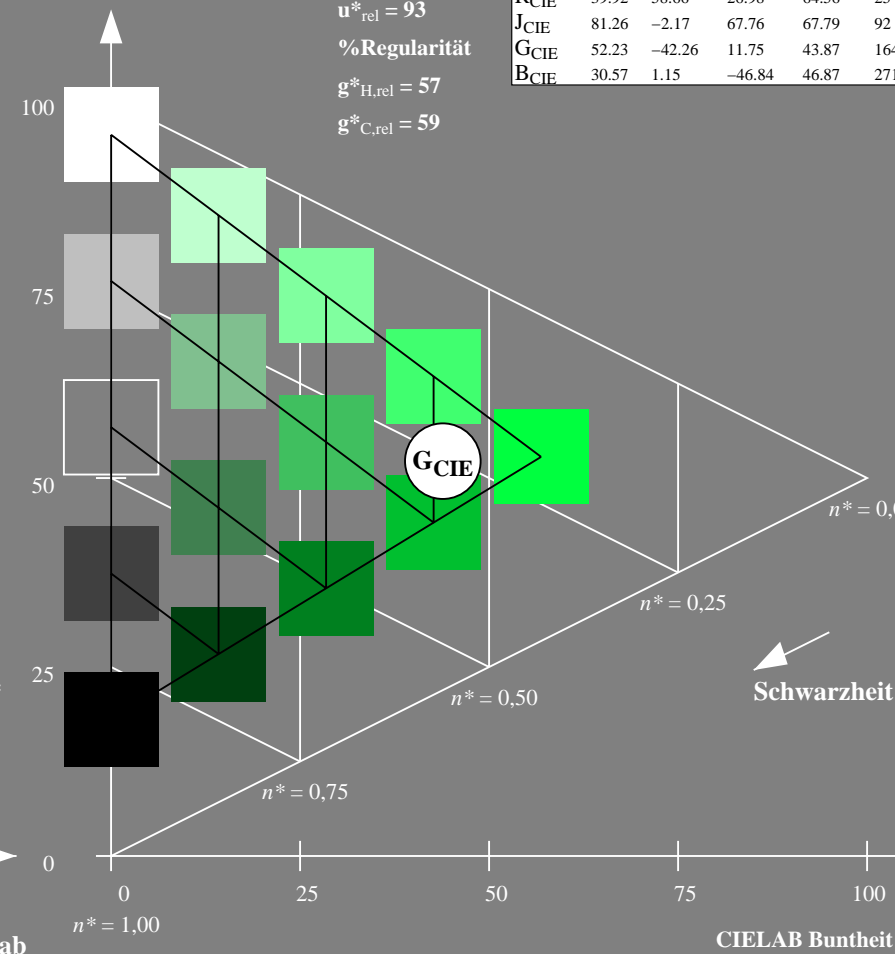
%Umfang

$u^*_{rel} = 93$

%Regularität

$g^*_{H,rel} = 57$

$g^*_{C,rel} = 59$



TG370-7, 5 stufige Reihen für konstanten CIELAB Buntton 162/360 = 0.451 (links)

5 stufige Reihen für konstanten CIELAB Buntton 164/360 = 0.457 (rechts)

BAM-Prüfvorlage TG37; Farbmetrik-Systeme NRS11 & ORS18 input: olv* setrgbcolor

D65: Koordinaten-Systeme von 5stufigen Farbreihen für 10 Buntton input: no change compared to input

Siehe ähnliche Dateien: <http://www.ps.bam.de/TG37/>
 Technische Information: <http://www.ps.bam.de> Version 2.1, io=1,1

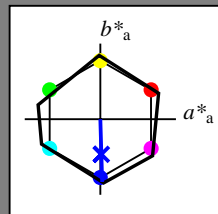
BAM-Registrierung: 20060101-TG37/10Q/Q37G08NP.PS/.PDF BAM-Material: Code=rhatha
 Anwendung für Beurteilung und Messung von Drucker- oder Monitorssystemen
 /TG37/ Form: 9/10, Serie: 1/1, Seite: 9
 Scherzhang 9

Eingabe: Farbmetrisches Reflexions-System NRS11

für Buntton $h^* = lab^*h = 272/360 = 0.755$

LAB*LCH, LAB*NCH

D65: Buntton B
 LCH*Ma: 53 83 272
 olv*Ma: 0.0 0.02 1.0



NRS11; adaptierte CIELAB-Daten

	$L^*=L^*_a$	a^*_a	b^*_a	$C^*_{ab,a}$	$h^*_{ab,a}$
R _{Ma}	53.2	77.06	34.32	84.36	24
J _{Ma}	53.2	-1.51	84.38	84.39	91
G _{Ma}	53.2	-82.27	18.98	84.44	167
G50B _{Ma}	53.2	-77.72	-32.98	84.44	203
B _{Ma}	53.2	4.37	-84.28	84.41	273
B50R _{Ma}	53.2	69.09	-48.41	84.37	325
N _{Ma}	10.99	0.0	0.0	0.0	0
W _{Ma}	95.41	0.0	0.0	0.0	0
R _{CIE}	39.92	58.69	27.98	65.01	25
J _{CIE}	81.26	-2.9	71.56	71.62	92
G _{CIE}	52.23	-42.45	13.59	44.59	162
B _{CIE}	30.57	1.35	-46.48	46.51	272

CIELAB-Helligkeit L^*

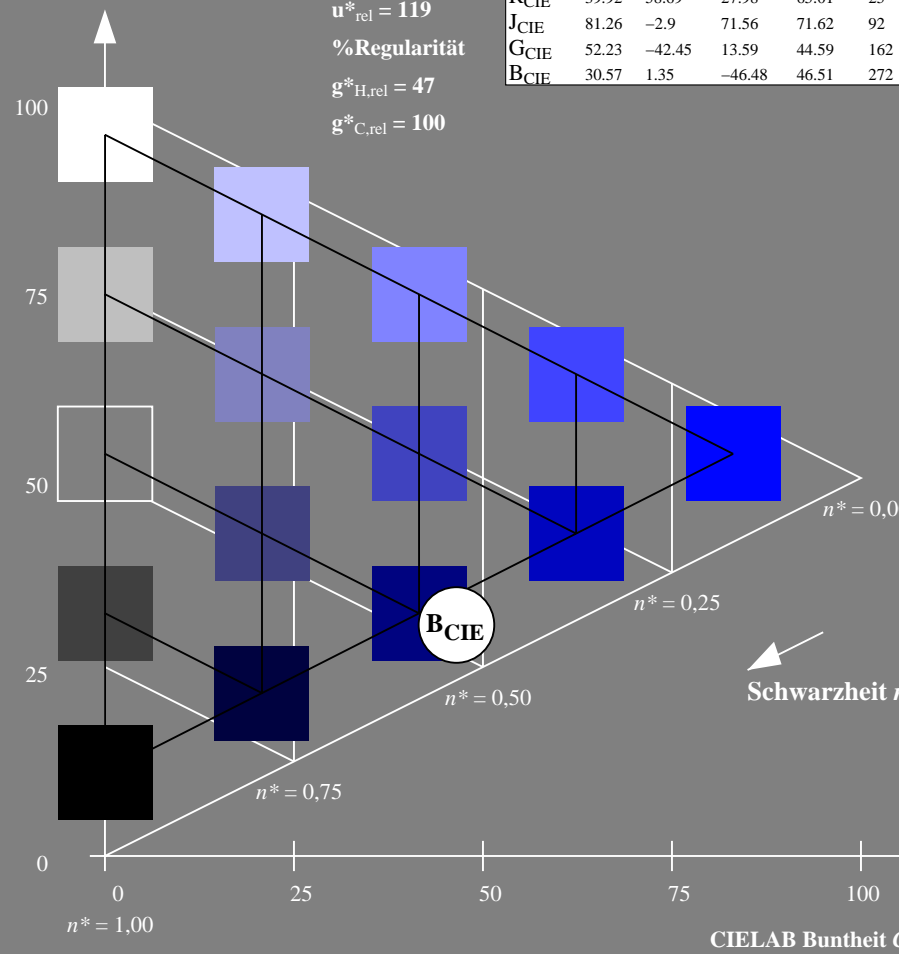
%Umfang

$u^*_{rel} = 119$

%Regularität

$g^*_{H,rel} = 47$

$g^*_{C,rel} = 100$

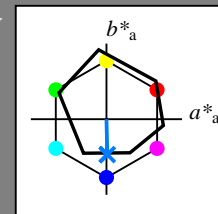


Ausgabe: Farbmetrisches Reflexions-System ORS18

für Buntton $h^* = lab^*h = 271/360 = 0.754$

LAB*LCH, LAB*NCH

D65: Buntton B
 LCH*Ma: 42 45 271
 olv*Ma: 0.0 0.49 1.0



ORS18; adaptierte CIELAB-Daten

	$L^*=L^*_a$	a^*_a	b^*_a	$C^*_{ab,a}$	$h^*_{ab,a}$
O _{Ma}	47.94	65.37	50.52	82.62	38
Y _{Ma}	90.37	-10.27	91.77	92.34	96
L _{Ma}	50.9	-62.79	34.95	71.87	151
C _{Ma}	58.62	-30.35	-45.01	54.3	236
V _{Ma}	25.71	31.11	-44.42	54.24	305
M _{Ma}	48.13	75.27	-8.35	75.73	354
N _{Ma}	18.01	0.0	0.0	0.0	0
W _{Ma}	95.41	0.0	0.0	0.0	0
R _{CIE}	39.92	58.66	26.98	64.56	25
J _{CIE}	81.26	-2.17	67.76	67.79	92
G _{CIE}	52.23	-42.26	11.75	43.87	164
B _{CIE}	30.57	1.15	-46.84	46.87	271

CIELAB-Helligkeit L^*

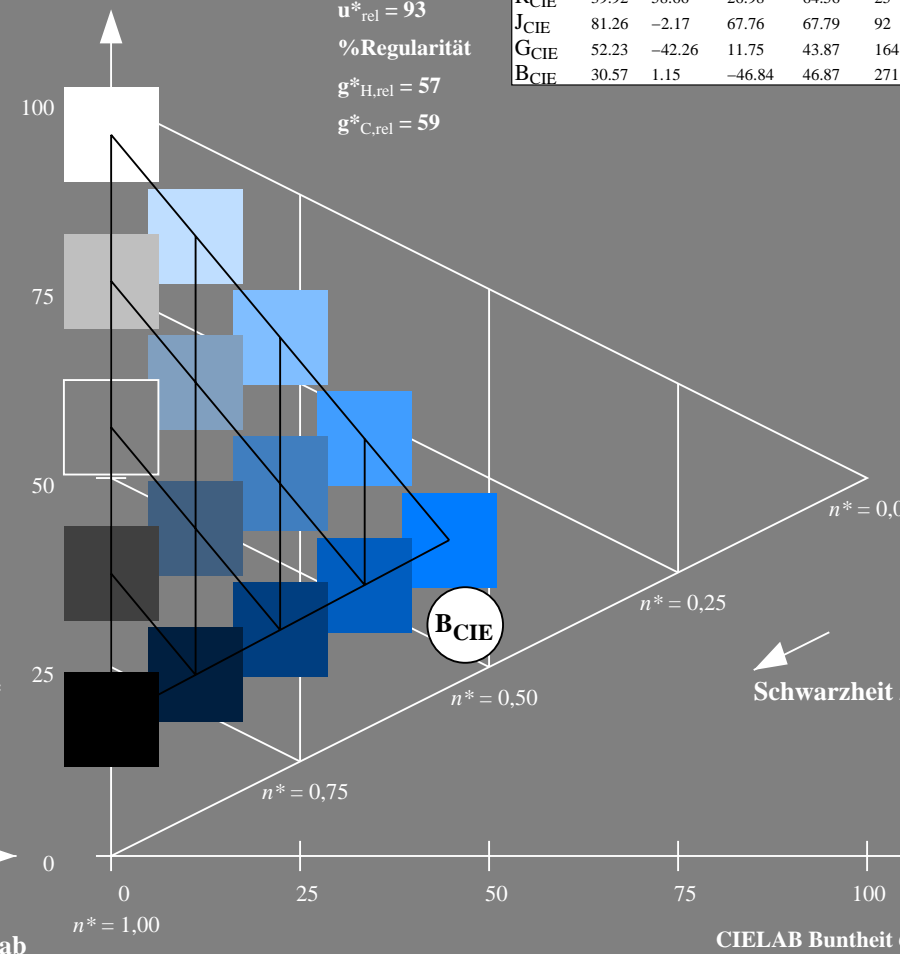
%Umfang

$u^*_{rel} = 93$

%Regularität

$g^*_{H,rel} = 57$

$g^*_{C,rel} = 59$



TG370-7, 5-stufige Reihen für konstanten CIELAB Buntton $272/360 = 0.755$ (links)

5-stufige Reihen für konstanten CIELAB Buntton $271/360 = 0.754$ (rechts)

BAM-Prüfvorlage TG37; Farbmetrik-Systeme NRS11 & ORS18 input: olv* setrgbcolor

D65: Koordinaten-Systeme von 5-stufigen Farbreihen für 10 Buntton input: no change compared to input

Siehe ähnliche Dateien: <http://www.ps.bam.de/TG37/>
 Technische Information: <http://www.ps.bam.de/Version 2.1, io=1,1>

BAM-Registrierung: 20060101-TG37/10Q/Q37G09NP.PS/.PDF BAM-Material: Code=rh4ta
 Anwendung für Beurteilung und Messung von Drucker- oder Monitorssystemen
 /TG37/ Form: 10/10 Serie: 1/1, Seite: 10
 Scherzhang 10